

УДК 631.356

DOI: <https://doi.org/10.32515/2414-3820.2019.49.43-59>

В.М. Булгаков, проф., д-р техн. наук, **З.В. Ружило**, доц., канд. техн. наук

Національний університет біоресурсів і природокористування України, м. Київ, Україна
e-mail: vbulgakov@meta.ua

М.І. Черновол, проф., д-р техн. наук, **М.О. Свірень**, проф., д-р техн. наук

Центральноукраїнський національний технічний університет, м. Кропивницький,
Україна

e-mail: rektor@kntu.kr.ua

Теоретичне дослідження взаємодії бульби із спіраллю очисника картопляного вороху

Очищення викопаної з ґрунту картоплі від ґрунтових домішок і рослинних решток є найбільш важливим елементом в її виробництві, оскільки чистота бульб, відсутність пошкоджень і високі експлуатаційні показники самого прибирання в значній мірі визначають ефективність всієї галузі. Створення нових очисників картопляного вороху, менш металомістких, більш ефективних і високопродуктивних дозволяє успішно вирішувати це завдання. Для обґрунтування оптимальних кінематичних і конструктивних параметрів нового очищувача картопляного вороху спірального типу побудована математична модель руху одничної бульби по очисній поверхні, утвореній двома спіралями. В результаті рішення на ПК отриманих аналітичних виразів були побудовані графічні залежності між параметрами розглянутого процесу руху однічного тіла бульби картоплі між двома сусідніми спіралями, що дозволили вибирати оптимальні конструктивні і кінематичні параметри спірального сепаратора.

картопля, прибирання, очищення від домішок, рух, математична модель, розрахунки на ПК

В.М. Булгаков, проф., д-р техн. наук, **З.В. Ружило**, доц., канд. техн. наук

Национальный университет биоресурсов и природоиспользования Украины, г. Киев, Украина

М.И. Черновол, проф., д-р техн. наук, **Н.А. Свирень**, проф., д-р техн. наук

Центральноукраинский национальный технический университет, г. Кропивницкий, Украина

Теоретическое исследование взаимодействия клубня со спиралью очистителя картофельного вороха

Очистка выкопанного из почвы картофеля от почвенных включений и растительных остатков является наиболее важным элементом в ее производстве, поскольку чистота клубней, отсутствие повреждений и высокие эксплуатационные показатели самого процесса уборки в значительной степени определяют эффективность всей отрасли. Создание новых очистителей картофельного вороха, менее металлоемких, более эффективных и высокопроизводительных позволяет успешно решать эту задачу. Для обоснования оптимальных кинематических и конструктивных параметров нового очистителя картофельного вороха спирального типа построена математическая модель движения единичных клубней по очистной поверхности, образованной двумя спиральами. В результате решения на ПК полученных аналитических выражений были построены графические зависимости между параметрами рассматриваемого процесса движения единичного тела клубней картофеля между двумя соседними спиральами, которые позволили выбирать оптимальные конструктивные и кинематические параметры спирального сепаратора.

картофель, уборка, очистка от примесей, движение, математическая модель, расчеты на ПК

Постановка проблеми. Промислове виробництво картоплі є однією з енерго- та матеріаломістких галузей сільського господарства, оскільки тільки з енергетичних витрат перевищує питомі витрати енергії на виробництво одиниці зернових культур в 4...5 разів. Найбільш вузькою ланкою в механізованих технологіях виробництва картоплі залишається її збирання, зокрема доведення одержуваної продукції до

© В.М. Булгаков, З.В. Ружило, М.І. Черновол, М.О. Свірень, 2019

кондиційного вигляду. Тому при подальшій розробці та удосконаленні робочих органів картоплезбиральних машин і оптимізації їх параметрів необхідно, перш за все, забезпечити не тільки зменшення їх матеріало- та енергоємність, а й істотно підвищувати якість викопаних бульб картоплі.

Аналіз останніх досліджень і публікацій. Аналіз технологічних і конструктивних схем картоплезбиральної техніки, яка широко застосовується в даний час в світі, показує, що найбільша частка маси всіх машин припадає саме на сепаруючі робочі органи, так як вважається, що із збільшенням їх кількості і різноманітності, а відповідно і тривалості сепарації викопаного з ґрунту картопляного вороху, досягається необхідне підвищення чистоти отриманої продукції. Це пояснюється тим, що очисні робочі органи є ключовою ланкою в забезпеченні якісних показників роботи картоплезбиральної машини в цілому.

Проведеними теоретичними і експериментальними дослідженнями, а також численними випробуваннями різних типів картоплезбиральних машин [1...14] встановлено, що високоякісне очищення бульб картоплі від ґрунтових і рослинних домішок можливе в разі, коли значна маса ґрунту та інших компонентів вороху (залишки гички, кореневища, міцні ґрутові утворення, каміння та ін.) буде відразу ж відокремлена від бульб в процесі викопування картопляного шару або ж відразу після його підйому і значна маса купи не буде подаватися разом з бульбами в середину машини. Однак застосовані підйомні транспортери, пристрої для розпушування і дроблення викопаного шару, встановлені відразу після пасивних і активних підкопуючих робочих органів вібраційного типу, грохоти, грудкорозчавлювачі, що мають достатню транспортну здатність, мають порівняно низькі сепаруючі показники роботи. В результаті цього значна маса ґрунтових домішок і рослинних залишків все одно подається всередину машини і надходить на інші сепаруючі робочі органи.

При цьому очисні робочі органи більшості картоплезбиральних машин різного типу, такі як струшувачі, пруткові елеватори, грохоти, а також сепаратори барабанного і ротаційного типів передбачають в своїй більшості так зване «пасивне» сепарування домішок. Так, не дивлячись на те, що дані робочі органи можуть вібрувати, мати різні активатори (наприклад, лопатеві, шнекові та ін.), здійснювати інші види примусових рухів, відведення домішок тут не є примусовим. Незважаючи на те, що тілам коренебульбоплодів картоплі, як і супроводжуючим їх домішкам, створюються різні за напрямками і величинам очищаючі зусилля, однак в більшості випадків сучасні сепаратори домішок не створюють для них умови саме примусового захоплення і примусового відведення із зони сепарації, тому домішки, у відомих пристроях, не завжди здатні до ефективної сепарації, особливо в умовах вологого ґрунту, що інтенсивно заповнює сепаруючі зазори, наявності кореневищ і інших рослинних залишків (сухих чи зелених), що також перекривають зазначені зазори. Крім того, відомі сепаратори картопляного вороху мають обмежені просіюючі зазори, що обумовлює захоплення і травмування тіл бульб картоплі.

Постановка завдання. На підставі теоретичних досліджень нової конструкції очисника картоплі від домішок спірального типу визначити його оптимальні кінематичні та конструктивні параметри.

Виклад основного матеріалу. Дослідження проведено з використанням основ моделювання, теоретичної механіка та математики, а також складання програм та проведення числових розрахунків за допомогою ПК.

Нами на рівні винахodu розроблена нова та високоефективна конструкція очисника картопляного вороху спірального типа [9], в якому переміщення бульб картоплі відбувається в руслі, утвореному двома спіральними елементами, виконаними

у вигляді спіральних циліндричних пружин. Конструктивна схема даного очисника представлена на рис. 1 (загальний вигляд зверху). На рис. 2 даний вигляд очисника картопляного вороху збоку (а), тобто вид А на рис. 1 та спереду (б), тобто вид Б на рис. 1.

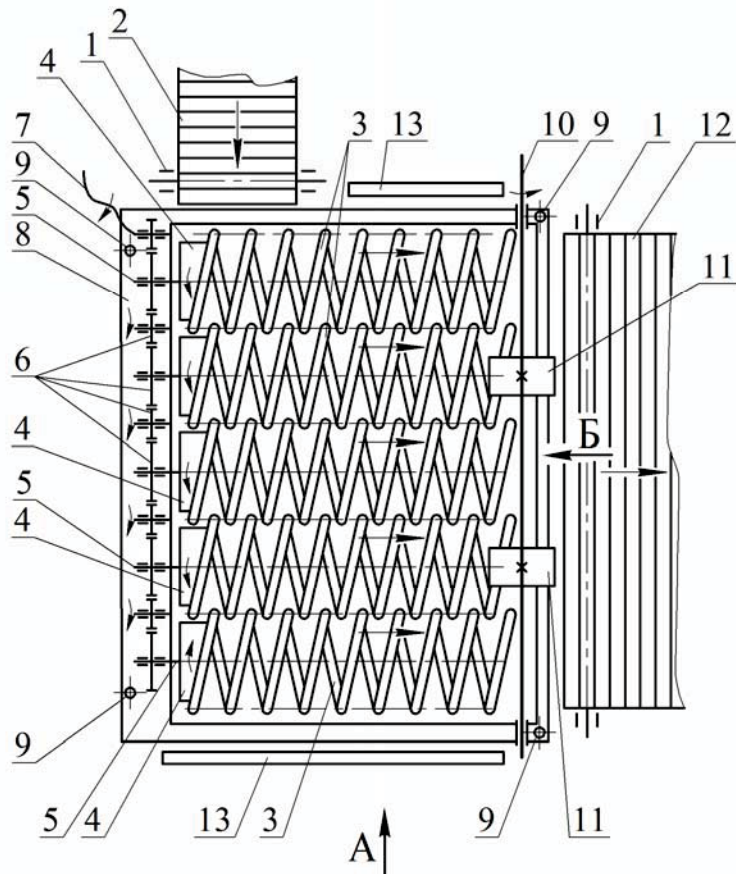


Рисунок 1 – Конструктивна схема спірального очисника картопляного вороху

Джерело: розроблено авторами з використанням [9]

Очисник картопляного вороху спірального типу містить основну раму 1, до якої підведений подавальний транспортер 2. Усередині рами 1 розташовані п'ять привідних очисних вальців, які виконані у вигляді консольних спіральних пружин 3, що встановлені зі взаємним перекриттям і мають між собою сепаруючі зазори. Спіральні пружини 3, встановлені консольно одними кінцями на маточинах 4, зв'язаних з привідними валами 5, які обертаються в одному напрямі (виключення складає остання спіральна пружина 3, що обертається назустріч попередній), а другі їх кінці розташовані вільно. Обертальні рухи привідним валам 5 спіральних пружин 3 забезпечують зубчасті колеса 6, що обертаються завдяки загальному гнучкому привідному валу 7.

Як видно зі схеми (рис. 1) очисні вальці, які виконані у вигляді спіральних пружин 3, розташовані у повздовжньо-вертикальній площині хвилеподібно на різній висоті таким чином, що фактично утворюються два очисних русла. Гвинтові навивки усіх п'ятьох спіральних пружин 3 спрямовані в одному напрямі до їх консольних кінців. Очисні вальці, що виконані у вигляді спіральних пружин 3, розміщені усередині рухомої рамки 8, що має прямокутну форму, яка встановлена зверху на основній рамі 1 за допомогою чотирьох пружин 9, розміщених у кутах рухомої рамки 8 і яка має нахил під кутом α до горизонту. Над вихідними, вільно розташованими кінцями спіральних пружин 3, встановлений привідний вал 10, розміщений перпендикулярно повздовжнім

осям самих спіралей 3, з плоскими еластичними бітерами 11, що знаходяться усередині вказаних очисних русел. До другого кінця рухомої рамки 8 підведений вивантажувальний транспортер 12. Таким чином, привідний вал 10 є встановленим безпосередньо перед вивантажувальним транспортером 12. Для запобігання втрат бульб картоплі навколо очисних вальців, виконаних у вигляді спіральних пружин 3, закріплено плоскі прямокутні захисні екрані 13. Напрямки обертальних і коливальних рухів робочих органів очисника бульб картоплі від домішок, а також руху потоків картоплі показані стрілками.

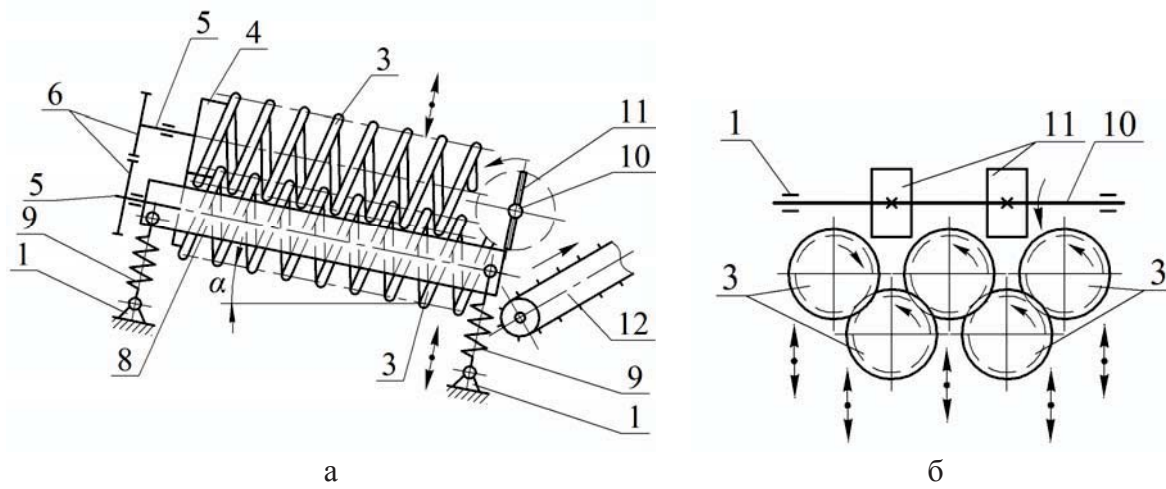


Рисунок 2 – Спіральний очисник картопляного вороху

Джерело: розроблено авторами з використанням [9]

Очисник картопляного вороху спірального типу працює таким чином. Картопляний ворох подається подавальним транспортером 2 на поверхню, утворену очисними вальцями, виконаними у вигляді спіральних пружин 3, які примусово обертаються в одному напрямку. При цьому ворох розосереджується по поверхні очисних вальців і спіральними пружинами 3 транспортується не тільки в радіальному, а й в осьовому напрямках. При цьому виділені з купи вороху бульби відразу потрапляють усередину двох очисних русел. А оскільки спіральні пружини 3 встановлено консольно, то коливання їх кінців сприяє ефективній сепарації дрібних ґрунтових домішок. Сепарування ґрунтових домішок й рослинних решток відбувається не тільки униз, але, завдяки хвилеподібному розташуванню привідних очисних вальців, що виконані у вигляді спіральних пружин 3, та їх примусовому обертальному русі, в різних, в тому числі, бічних напрямах. Це значно підвищує якість очищення бульб від домішок. При транспортуванні по очисній поверхні, бульби контактиують з витками спіральних пружин 3 і тим самим ефективно очищаються від налиплого ґрунту. Оскільки спіральні пружини 3, встановлені одними кінцями на маточинах 4, закріплені на привідних валах 5, які обертаються в одному напрямку, а привід в обертальний рух валів 5 забезпечують привідні зубчасті колеса 6 і загальний гнуцкий привідний вал 7, то процес транспортування та сепарування домішок може відбуватись при будь-якій (навіть високій) заданій швидкості обертання спіральних пружин 3. Завдяки тому, що очисні вальці, що виконані у вигляді спіральних пружин 3, розміщені усередині рухомої рамки 8, що має прямокутну форму і яка встановлена зверху на основній рамі 1 за допомогою

чотирьох пружин 9, розміщених у кутах рамки 8, вона має можливість здійснювати ще й окремі коливальні рухи, які здійснюються під дією змінного завантаження. Завдяки тому, що рухома рамка 8 має нахил під кутом α до горизонту, то бульби, які у переважній більшості мають круглі форми, під дією сил тяжіння гарантовано рухаються з більшою швидкістю у напрямі вільних кінців спіральних пружин 3 усередині двох очисних русел, які утворені внаслідок того, що очисні вальці розташовані у повздовжньо-вертикальній площині хвилеподібно на різній висоті. Грунтові домішки та рослинні рештки, які не здатні до кочення, рухаються по очисній поверхні, утворені очисними вальцями, більш повільно, однак внаслідок коливань вільних кінців спіральних пружин 3, а також самої рухомої рамки 8 на пружинах 9 відбувається їх інтенсивна сепарація униз, за межі очисника. Внаслідок цього до вихідних кінців спіральних пружин 3 грунтові домішки й рослинні рештки майже не доходять, а там опиняються у двох очисних руслах тільки бульби картоплі. Тут над вихідними, вільно розташованими кінцями спіральних пружин 3, встановлений привідний вал 10, який розміщений перпендикулярно повздовжнім осям самих спіралей 3, з плоскими еластичними бітерами 11, що знаходяться усередині вказаних очисних русел. А тому бітери 11 наносять по бульбах м'які удари, збиваючи з них налиплий ґрунт, і виштовхують на вивантажувальний транспортер 12. Завдяки тому, що привідний вал 10 є встановленим безпосередньо перед вивантажувальним транспортером 12, то всі домішки, які ще залишились, безпосередньо звільняють вільні кінці спіральних пружин 3 іпадають донизу. Після повного очищення бульби потрапляють на вивантажувальний транспортер 12. Для запобігання втрат бульб картоплі в бічних напрямках застосовуються захисні екрані 13, які фактично оточують рухому рамку 8.

Оси елементів розміщено паралельно і міжцентрова віддаль між ними a_w допускає перекриття витків спіралей.

Складемо еквівалентну схему взаємодії бульби картоплі з витками двох спіральних пружин (рис. 3).

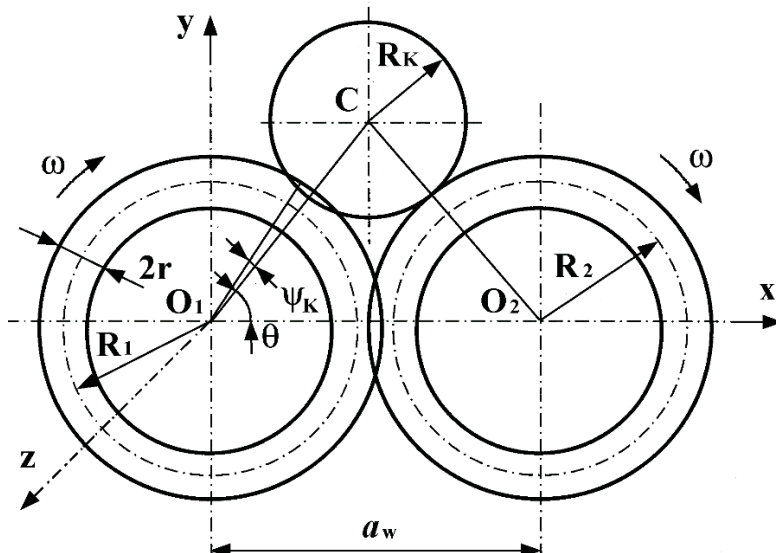


Рисунок 3 – Еквівалентна схема взаємодії бульби картоплі зі спіралями

Джерело: розроблено авторами

На рис. 4 приведена еквівалентна схема контакту бульби картоплі зі спіралями очисника.

Виберемо систему координат $Oxuz$ так, щоб вісь Oz співпадала із віссю першої спіралі (пружини), а вісь Ox напрямлена в сторону другої спіралі і співпадала із лінією, що з'єднує осі спіралей в площині Oxy .

В загальному випадку лінія центрів і, відповідно, вісь Ox , нахиlena під кутом α до горизонту.

Оси витків спіральних елементів утворюють гвинтові лінії рівняння яких у параметричному вигляді:

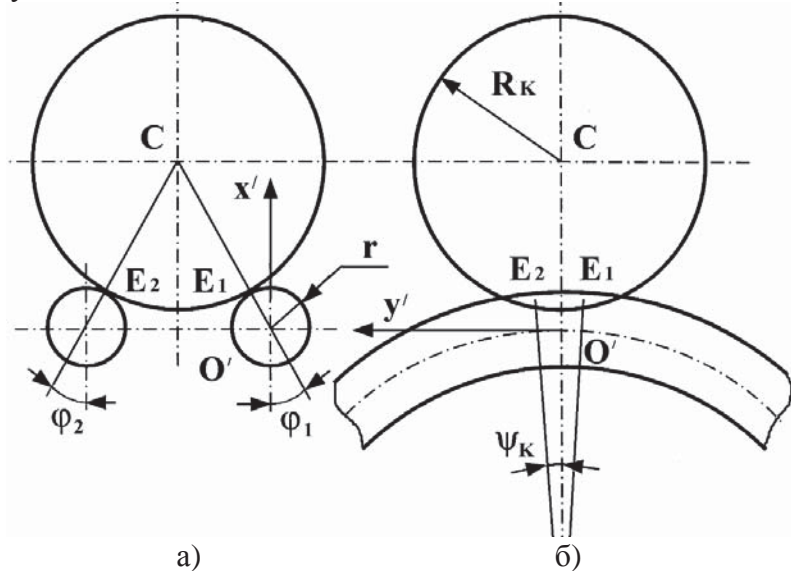


Рисунок 4 – Еквівалентна схема контакту бульби картоплі з поверхнею спіральних пружин
Джерело: розроблено авторами

$$\begin{aligned} x_1 &= R_1 \cos(\psi_1 + \psi_{10}); \\ y_1 &= R_1 \sin(\psi_1 + \psi_{10}); \end{aligned} \quad (1)$$

$$z_1 = -\frac{S_1 \psi_1}{2\pi}.$$

$$\begin{aligned} x_2 &= R_2 \cos(\psi_2 + \psi_{20}) + a_w; \\ y_2 &= R_2 \sin(\psi_2 + \psi_{20}); \end{aligned} \quad (2)$$

$$z_2 = -\frac{S_2 \psi_2}{2\pi},$$

де R_1 та R_2 – радіуси відповідно першого та другого елементів, що задають розміщення осі прутка;

S_1 та S_2 – кроки відповідно першої та другої спіралі;

ψ_1 та ψ_2 – незалежні кутові параметри спіралей;

ψ_{10} та ψ_{20} – початкові монтажні кути спіралей, що визначають напрямок розміщення січення витка в момент часу $t = 0$;

a_w – віддаль між осями спіралей.

Для правих спіралей значення кроку в спіралей приймається із знаком (+), для

лівих із знаком (-).

Формалізований опис поверхні спіральних елементів спрощується при використанні спеціальної гвинтової системи координат $O\rho\psi$, в якій розміщення довільної точки визначається параметрами ψ , φ та ρ , де ψ – кутовий параметр, що задає розміщення поперечного січення по довжині спірального прутка; ρ та φ – відповідно радіальний та кутовий параметри полярної системи координат в площині поперечного січення.

Початкове розміщення осі $O'\rho'$, від якого визначається кут ψ , вибирають за напрямком вектора головної нормалі n гвинтової лінії.

Введемо додаткову систему координат $O'x'y'z'$ так, щоб його ортами були орти супроводжуючого трикутника. Тоді вісь $O'x'$ буде напрямлена по вектору головної нормалі \bar{n} , вісь $O'y'$ – по напрямку дотичної \bar{t} до гвинтової осі прутка, а вісь $O'z'$ – по вектору бінормалі \bar{b} . Координати довільної точки поперечного січення параметрами ψ, φ та ρ , в системі $O'x'y'z'$ визначаються за залежностями.

$$x' = \rho \cos \varphi; \quad y' = 0; \quad z' = \rho \sin \varphi. \quad (3)$$

Зв'язок системи координат $O'x'y'z'$ із базовою системою $Oxyz$ доцільно визначити, використовуючи матричні перетворення однорідних систем координат, в якій між векторами r та r' відповідних систем координат існує залежність:

$$r = R_z(\psi) T_z R_x(\gamma) T_x r', \quad (4)$$

де матриці кутових поворотів R_x і R_z та лінійних переміщень T_x та T_z .

В розвернутому вигляді взаємозв'язок, що описується залежністю (4) прийме вигляд:

$$\begin{pmatrix} x \\ y \\ z \\ 1 \end{pmatrix} = \begin{pmatrix} \cos \psi & -\cos \gamma \sin \psi & \sin \gamma \sin \psi & R \cos \psi \\ \sin \psi & \cos \gamma \sin \psi & -\sin \gamma \cos \psi & R \sin \psi \\ 0 & \sin \gamma & \cos \gamma & \frac{\psi S}{2\pi} \\ 0 & 0 & 0 & 1 \end{pmatrix} \begin{pmatrix} x' \\ y' \\ z' \\ 1 \end{pmatrix}. \quad (5)$$

Згідно (5) зв'язок між координатами базової системи координат $Oxyz$ та спеціальної гвинтової $O\rho\psi$ буде:

$$\begin{aligned} x &= (R + \rho \cos \varphi) \cos \psi + \rho \sin \gamma \sin \varphi \sin \psi; \\ y &= (R + \rho \cos \varphi) \sin \psi - \rho \sin \gamma \sin \varphi \cos \psi; \\ z &= \frac{S\psi}{2\pi} + \rho \cos \gamma \sin \varphi. \end{aligned} \quad (6)$$

Визначимо можливе розміщення картоплі на нерухомому спіральному сепараторі.

Приймемо в першому наближенні, що картопля описується сферою. Тоді в точці контакту E_1 і E_2 нормалі до поверхні картоплі та поверхонь витків коленіарні, а реакції із сторони витків проходять через центр картоплі (рис. 3-4). Отже координати x_c, y_c, z_c

централі картоплі радіусом R_k через параметри $\chi\omega\rho$ можна представити як через параметри точки контакту E_1 , так і через параметри точки контакту E_2 . Виходячи із симетрії розміщення сферичної картоплі на витках, параметри точок контакту ω_1 та ω_2 сусідніх витків однієї спіралі зв'язані залежністю:

$$\omega_2 = -\omega_1. \quad (7)$$

Для сферичної картоплі радіальні параметри її центра C :

$$\rho_{1c} = \rho_{2c} = r + R_k. \quad (8)$$

Розглянемо варіант розташування коренеплоду, координати центра ваги якого будуть $x_c = R_c$, $y_c = 0$, $z_c = s/2$. Тоді, при початковому значенні кутового параметру витка спіралі $\psi_0 = 0$, кутові параметри точок контакту становитимуть ψ_1 та $\psi_2 = 2\pi - \psi_1$, а кутовий параметр коренеплоду буде $\theta_c = \psi_c = 0$.

В цьому випадку із другого та третього рівнянь системи (5) маємо:

$$\rho_c \cos \gamma \sin \varphi = \frac{s}{2} - \frac{s\psi_k}{2\pi}; \quad (9)$$

$$\tan \psi_k = \frac{\rho_c \sin \gamma \cdot \sin \varphi}{R + \rho_c \cdot \cos \varphi}. \quad (10)$$

Виключення параметру φ приводить до трансцендентного рівняння зв'язку кутового параметру ψ з радіальним параметром $\rho_c = R_k + r$:

$$\tan \psi_k = \frac{\rho_c s(\pi - \psi_k) \sin \gamma}{2\pi \left(R + \rho_c \cdot \sqrt{1 - \frac{s^2(\pi - \psi_k)^2}{4\pi^2 \rho_c^2}} \right)}. \quad (11)$$

Із рівняння (11) шукають числовими методами значення $\psi = \psi(\rho_c) = \psi(R_c + r)$, як функцію від радіусу картоплі.

Кут розміщення центра картоплі θ_0 визначається із умовою контакту із витком іншої спіралі (рис. 1):

$$\cos \theta_0 = \frac{-a_\omega^2 - (R_c + R_u)^2 + (R_k + r_2 + R_2)^2}{a_\omega (R_c + R_u)}. \quad (12)$$

При відомій лінійній координаті z картоплі, її кутове розміщення визначається за залежністю:

$$\theta_0 = \frac{2\pi z}{S + \pi}. \quad (13)$$

Кутові параметри точок контакту рівні:

$$\theta_1 = \theta_0 - \psi_k, \quad (14)$$

$$\theta_2 = \theta_0 + \psi_k. \quad (15)$$

Тоді кутові параметри точок контакту та центру коренеплоду в полярній системі координат згідно (9):

$$\varphi_{1,2} = \pm \arcsin \frac{S(\pi - \psi_k)}{2\pi\rho_c \cos \gamma}. \quad (16)$$

Із першого і другого рівнянь системи (6), радіус розміщення картоплі при її обкочуванні по руслу, утвореному витками однієї спіралі (рис. 2):

$$R_c = X_c = \frac{(R_K + r) \sin \gamma \cdot S \psi_K}{2\pi(R_K + r) \cos \gamma \sin \psi_K} = \frac{Stg \gamma}{2\pi} \frac{\psi_K}{\sin \psi_K}. \quad (17)$$

Кочення картоплі радіусом R_K по витках першої спіралі можна представити як кочення сфери приведеним радіусом R_c по циліндричній поверхні приведеним радіусом R_u .

Тут:

$$R_c = R_K \frac{\cos \varphi}{\cos \psi}; \quad (18)$$

$$R_u = \frac{(R + r \cos \varphi)}{\cos \psi}. \quad (19)$$

Для спіралей із невеликим кутом піднімання γ витків та малим кроком S можна дати наближений розрахунок параметрів розміщення коренеплоду на витках.

Кут ψ_k шукаємо із наближеної залежності:

$$\sin \psi_k = \frac{\Delta l_k \cdot \cos \gamma}{R} = \frac{S \cdot \sin(2\gamma)}{4n}, \quad (20)$$

де Δl_k – довжина проекції дуги згідно рис. 2.

Кутовий параметр φ в першому наближенні буде:

$$\sin \varphi = \frac{S}{2(R_k + r)}. \quad (21)$$

На рис. 5 та рис. 6 приведені залежності кутів ψ_k та φ відповідно від радіуса спіральних елементів при $s = 40$ мм та $R_k = 40$ мм, розрахованими за наближеними залежностями (20) та (21) і за точними (11) та (16). Їх аналіз показує, що параметр φ , з достатньою для практичного використання точністю, визначається за спрощеною залежністю (21), тоді як параметр ψ_k для спіралей малого радіусу необхідно визначати тільки за залежністю (11).

Для випадку обертової спіралі вводимо проміжну систему координат $Ox_\omega y_\omega z_\omega$, яка обертається відносно осі $Oz = Oz_\omega$ нерухомої системи $Oxyz$. Тоді рівняння гвинтової лінії спіралі (1) та перетворення (3-6) будуть проводитись у системі $Ox_\omega y_\omega z_\omega$, а її взаємозв'язок із системою $Oxyz$ описеться у вигляді перетворення:

$$r = R_z(\omega t) r_\omega = R_z(\omega t) R_z(\psi) T_z R_x(\gamma) T_x r'. \quad (22)$$

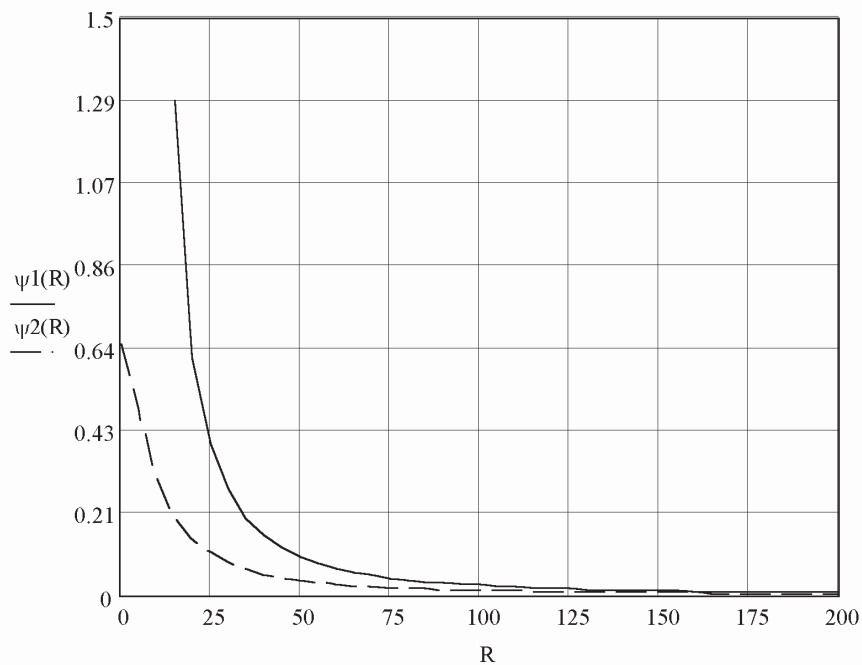


Рисунок 5 – Залежність кута ψ від радіуса спіральних елементів при кроці навивки $S = 40$ мм
та радіусі бульби $R_K = 25$ мм

Джерело: розроблено авторами

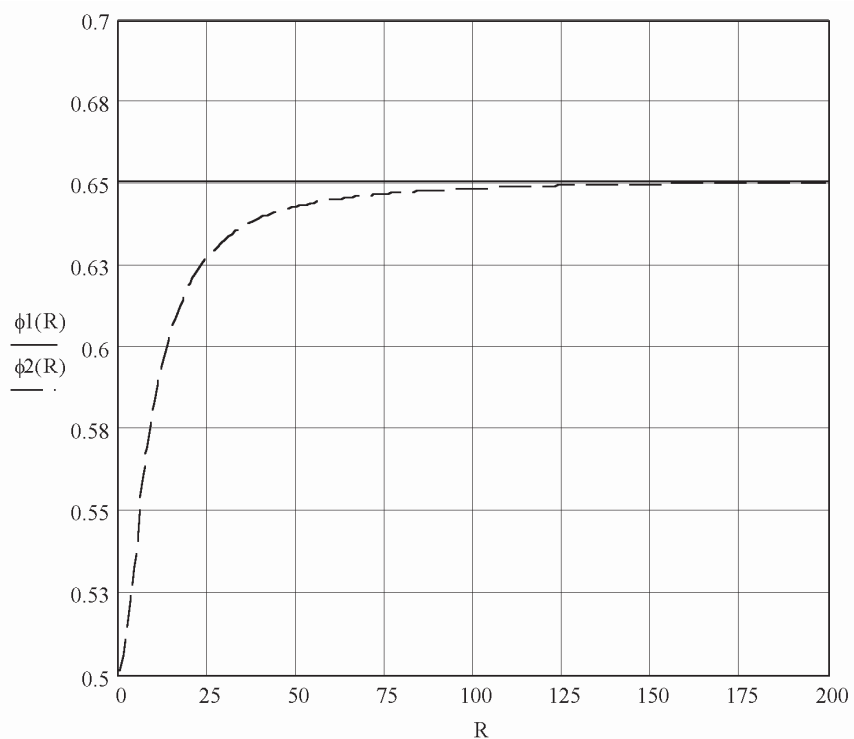


Рисунок 6 – Залежність кута φ від радіуса спіральних елементів при кроці навивки $S = 40$ мм
та радіусі бульби $R_K = 25$ мм

Джерело: розроблено авторами

Відповідно для обертової спіралі рівняння осі прутків буде (для першої):

$$\begin{aligned} x &= R_i \cos(\psi_1 + \psi_{10} + \omega t); \\ y &= R_i \sin(\psi_1 + \psi_{10} + \omega t); \\ z &= -\frac{S\psi_1}{2\pi}. \end{aligned} \quad (23)$$

Для другої спіралі обертання проводити відносно її осі і рівняння гвинтової осі прутків буде аналогічне.

Рівняння (6) зв'язку спеціальної системи координат із базовою буде:

$$\begin{aligned} x &= (R + \rho \cos \varphi) \cos(\psi + \omega t) + \rho \sin \gamma \sin \varphi \sin(\psi + \omega t); \\ y &= (R + \rho \cos \varphi) \sin(\psi + \omega t) + \rho \sin \gamma \sin \varphi \cos(\psi + \omega t); \\ z &= \frac{S\psi}{2\pi} + \rho \cos \gamma \sin(\psi + \omega t). \end{aligned} \quad (24)$$

Розміщення картоплі буде визначатись кутовим параметром θ :

$$\theta = \psi + \omega t, \quad (25)$$

а її осьова координата:

$$z = \frac{(\theta - \omega t) S}{2\pi} + (R_k + r) \cos \gamma \cdot \sin \theta. \quad (26)$$

Відповідно осьова швидкість буде:

$$V_z = \frac{dz}{dt} = \left(\frac{d\theta}{dt} - \omega \right) \frac{S}{2\pi} + (R_k + r) \cos \gamma \cdot \cos \theta \frac{d\theta}{dt}. \quad (27)$$

Вертикальні та горизонтальні коливання в руслі:

$$V_y = \left[-(R + \rho \cos \varphi) \sin \theta + \rho \sin \gamma \cdot \sin \varphi \cdot \cos \theta \right] \frac{d\theta}{dt}; \quad (28)$$

$$V_z = \left[(R + \rho \cos \theta) \cos \theta + \rho \sin \gamma \cdot \sin \varphi \cdot \sin \theta \right] \frac{d\theta}{dt}; \quad (29)$$

При циліндричних пружинах, що обертаються відносно своєї осі, і при сферичній картоплі кут θ буде незмінним.

При $r = \text{const}$, $S = \text{const}$ постійним буде і параметр $\varphi = \text{const}$.

$$\text{Відповідно } V_x = V_y = 0 \text{ та } V_z = -\frac{\omega \cdot S}{2\pi}.$$

У випадку еліпсоїдної в січенні форми картоплі максимально і мінімально можливі віддалі від центра спіралей будуть:

$$\begin{aligned} l_{\max i} &= R_i + \delta + R_k, \\ l_{\min} &= R_i + R_k - \delta, \end{aligned} \quad (30)$$

де δ – величина відхилення осьових розмірів від середнього значення картоплі, R_K ; $\delta = a - R_k = R_k - b$. Тут a і b – півосі еліпсоїда.

Величина осцилюючого руху при перекочуванні картоплі буде проходити в напрямку осі Ox із амплітудою:

$$A = \frac{2k_A \delta (R_u + R_c)}{a_\omega}, \quad (31)$$

де k_A – коефіцієнт, що залежить від співвідношення радіусів спіралей і картоплі. Тоді в першому наближенні координата центра еліпсоїдної картоплі

$$x_e = \frac{a_w}{2} + A \sin \left(2 \frac{R_c}{R_u} \omega t + \varepsilon \right), \quad (32)$$

а швидкість осцилюючого руху буде дорівнювати:

$$V_x = \frac{2AR_c}{R_u} \omega \cos \left(2 \frac{R_c}{R_u} \omega t + \varepsilon \right), \quad (33)$$

де ε – зсув фаз частоти обертання спіралі і картоплі.

Розглянемо можливість інтенсифікації процесу сепарації вороху картоплі.

Змістимо осі обертання відносно осі спіралі на величину ексцентриситету ε .

Тоді зв'язок обертової системи координат $Ox_\omega y_\omega z_\omega$ відносно базової описанеться залежністю:

$$r = R_z^{(\omega t)} T_x^{(\varepsilon)} r_\omega = R_z(\omega t) T_x(\varepsilon) R_z(\psi) T_z R_z(\gamma) T_x r'. \quad (34)$$

Відповідно рівняння гвинтової осі прутків спіралі, що обертається буде:

$$\begin{pmatrix} x \\ y \\ z \\ 1 \end{pmatrix} = \begin{pmatrix} \cos \omega t & -\sin \omega t & 0 & \\ \sin \omega t & \cos \omega t & 0 & \\ 0 & 0 & 1 & \\ 0 & 0 & 1 & \end{pmatrix} \begin{pmatrix} x_\omega + \varepsilon \\ y_\omega \\ z_\omega \\ 1 \end{pmatrix}. \quad (35)$$

Звідки:

$$\begin{aligned} x &= (R \cos \psi + \varepsilon) \cos \omega t - R \sin \psi \sin \omega t; \\ y &= (R \cos \psi + \varepsilon) \sin \omega t + R \sin \psi \cos \omega t; \\ z &= z_\omega = \frac{S\psi}{2\pi}. \end{aligned} \quad (36)$$

Після відповідних перетворень система (36):

$$\begin{aligned} x &= R \cos(\psi + \omega t) + \varepsilon \cos \omega t; \\ y &= R \sin(\psi + \omega t) + \varepsilon \sin \omega t; \\ z &= \frac{S'\psi}{2\pi}. \end{aligned} \quad (37)$$

У випадку, якщо векторні величини ексцентриситету в двох спіралей одинакові, $\bar{\varepsilon}_1 = \bar{\varepsilon}_2$, то кут розміщення картоплі в системі $Ox_\omega y_\omega z_\omega$ буде постійним $\theta = \text{const}$.

Відповідно швидкості центра коренеплоду будуть:

$$\begin{aligned} \dot{x}_c &= -\omega \varepsilon \sin \omega t; \\ \dot{y}_c &= \omega \varepsilon \cos \omega t; \\ \dot{z} &= -\frac{\omega S}{2\pi}. \end{aligned} \quad (38)$$

На рис. 7, 8, 9 та 10 представлені графіки зміни координат точок на поверхні спіралі x та y згодом при різних значеннях радіуса, ексцентризитету закріплення і кутової швидкості обертання спіралі, які отримані за допомогою чисельних розрахунків на ПК.

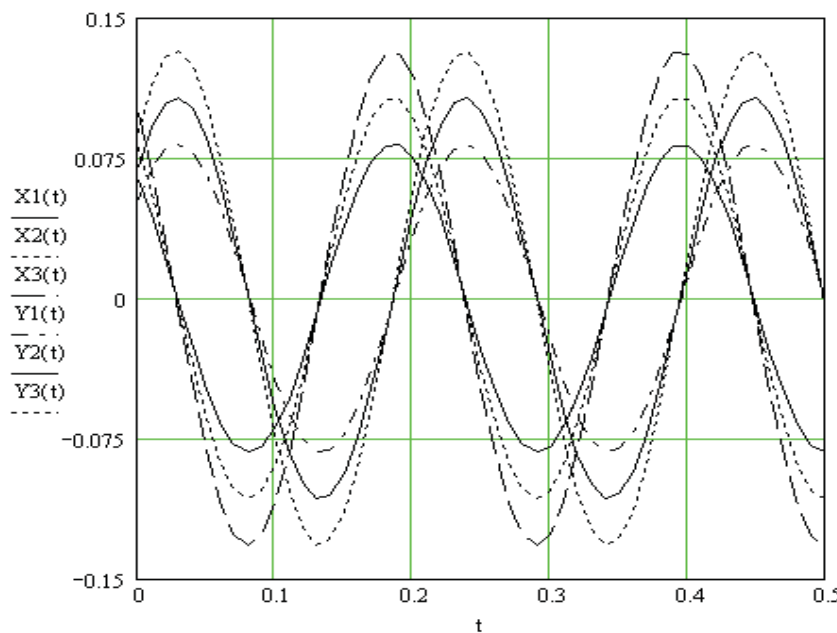


Рисунок 7 – Залежність змін координат x та y у часі точки, яка знаходиться на поверхні спірального сепаратора, при кутовій швидкості обертання спіралі $30 \text{ рад} \cdot \text{s}^{-1}$, ексцентризитеті закріплення спіралі 10 мм і радіусі спіралей: 1) 50 мм ; 2) 75 мм ; 3) 100 мм

Джерело: розроблено авторами

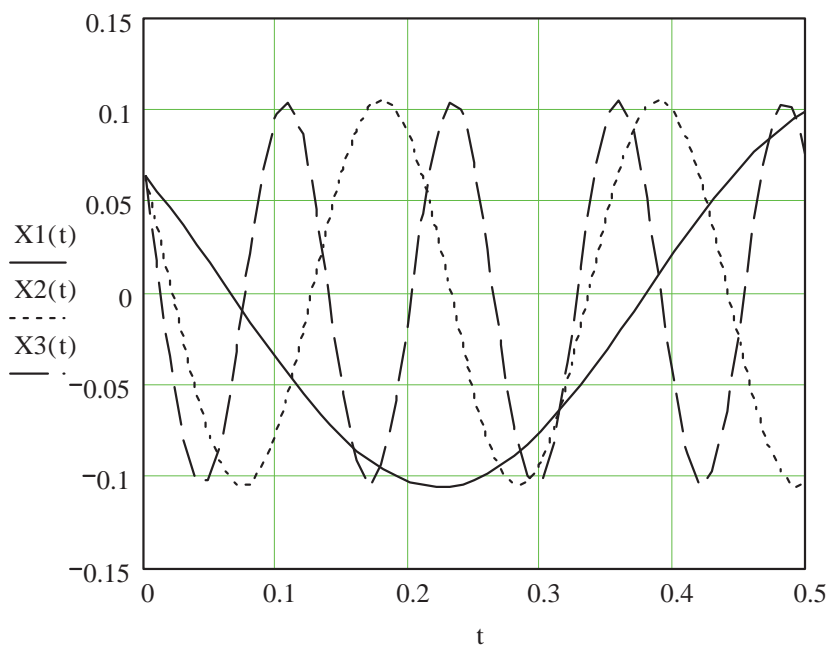


Рисунок 8 – Зміна поздовжньої координати x точки на поверхні спіралі з часом при радіусі спіралі 75 мм , ексцентризитеті 10 мм і кутовій швидкості обертання спіралей: 1) $10 \text{ рад} \cdot \text{s}^{-1}$; 2) $30 \text{ рад} \cdot \text{s}^{-1}$; 3) $50 \text{ рад} \cdot \text{s}^{-1}$

Джерело: розроблено авторами

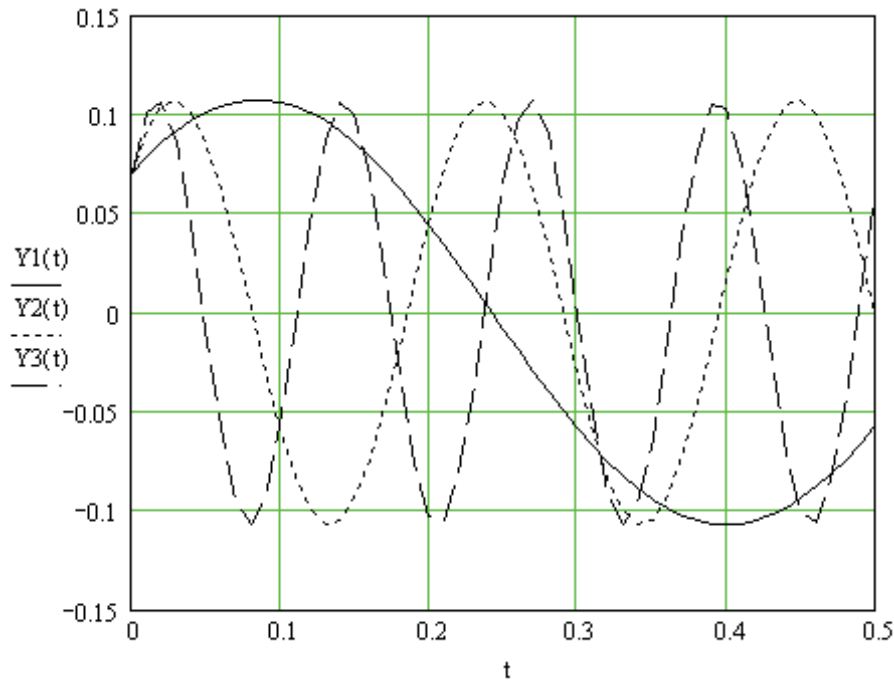


Рисунок 9 – Зміна поздовжньої координати y точки на поверхні спіралі з часом при радіусі спіралі 75 мм, ексцентриситеті 10 мм і кутовій швидкості обертання спіралей:
1) 10 $\text{рад} \cdot \text{s}^{-1}$; 2) 30 $\text{рад} \cdot \text{s}^{-1}$; 3) 50 $\text{рад} \cdot \text{s}^{-1}$

Джерело: розроблено авторами

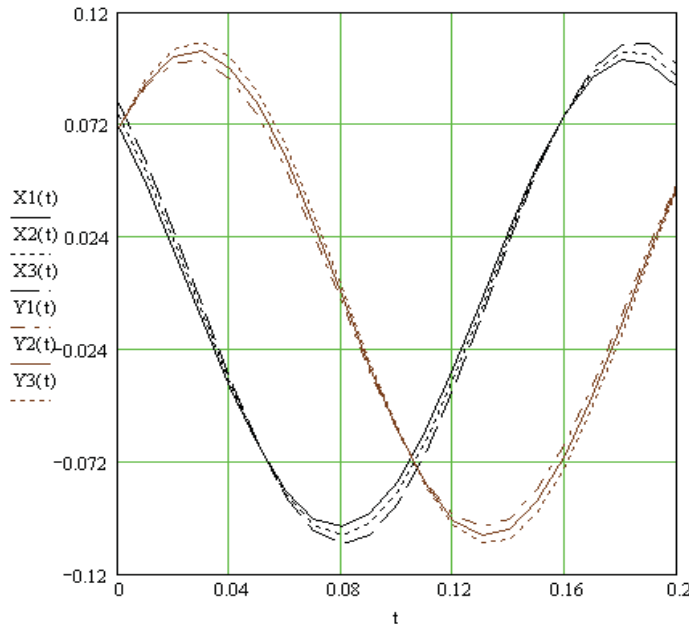


Рисунок 10 – Зміна координат x та y точці на поверхні спіралі з часом при радіусі спіралі 75 мм, кутовій швидкості обертання спіралі 10 $\text{рад} \cdot \text{s}^{-1}$ і ексцентриситеті закріплення вальців:
1) 0 мм; 2) 5 мм; 3) 10 мм

Джерело: розроблено авторами

Отже, зміщення осі спіральних елементів сепараторів відносно осі їх обертання забезпечує поперечні коливання русла очисника, а тому може використовуватись для інтенсифікації очищення картоплі від домішок.

Висновки: 1. Розроблена нова конструкція очисника картоплі від домішок спірального типу, яка покращує якісні показники роботи картоплезніжеральних машин, оскільки запобігає залипанню вологим ґрунтом елементів робочого органу (шляхом встановлення спіралей із взаємним перекриттям), а підвищення інтенсивності сепарації досягається ексцентричним встановленням спіралей.

2. Розроблено математичну модель взаємодії бульби з поверхнею спірального сепаратора при русі бульби в міжвитковому просторі навивки, яка визначає мінімальне значення кутової швидкості обертання валіців. При русі бульби діаметром 50 мм по поверхні спіралі радіусом 75 мм з прутком навивки діаметром 15 мм при закріпленні спіралей з ексцентризитетом 10 мм для забезпечення ефективного транспортування і очищення необхідно, щоб кутова швидкість обертання валіців була в межах 27...40 рад/с.

3. При аналізі кінематики руху бульби картоплі по поверхні очисника спірального типу за умови дотику бульби в двох точках до одної спіралі і в одній точці до іншої встановлено, що при збільшенні кутової швидкості обертання спіралей ω зростає транспортуюча здатність робочого органу, а сепаруюча здатність при цьому дещо зменшується.

Список літератури

1. Петров Г.Д. Картофелеуборочные машины . Москва: Машиностроение, 1984. 320 с.
2. Батяев Ф.И. Автоматическая сепарация примесей от клубней (к механизации уборки картофеля). *Картофель и овощи*, 1967. №6. С. 16-17.
3. Батяев Ф.И., Карев Е.Б., Петров Г.Д. Состояние и перспективы развития рабочих органов для отделения клубней картофеля от примесей при комбайновой уборке. Москва, 1972. 63 с.
4. Верещагин Н.И. Рабочие органы для возделывания, уборки и сортирования картофеля / Н.И. Верещагин, К.А. Пшеченков. Москва: Машиностроение, 1965. 241 с.
5. Масленников И.Н. Исследование и сравнительная оценка ротационных сепараторов картофелеуборочных машин: автореф. дисс. канд. техн. наук. Москва, ВИСХОМ, 1974. 28 с.
6. Егошин А.В., Кропотов Е.И. К вопросу отделения клубней картофеля от примесей и гнилей . *Исследование машин и рабочих органов для возделывания и уборки картофеля, овощных и зерновых культур: Сб. научн. тр. Нижегородского СХИ*, Н. Новгород, 1991. С. 55-57.
7. Колчин Н.Н., Фурлетов В.М., Арсеньев Д.А. Состояние и перспективы развития отделителей примесей для послеуборочной обработки картофеля и овощей. Москва: ВИСХОМ, 1986. 65 с.
8. Karwowski T. Teoria i konstrukcja maszyn rolniczych. Warszawa: PWRiL. 1982. Т. 3. 429 s.
9. Очисник корнебульбоплодів від домішок: пат. України №120234, А 01 D 33/08. / Булгаков В.М., Головач І. В., Ружило З. В., Паскуці С., Санторо Ф., Аніфантіс А. С. Опубл. 25.10.2019 р., бюллєтень №20.
10. Bulgakov V., Ivanov S., Adamchuk V., Ihnatiev Y. Investigation of the influence of the parameters of the experimental spiral potato heap separator on the quality of work. *Agronomy Research*. 2017. Vol. 15, No 1, pp. 44-54.
11. Bulgakov V., Nikolaenko S., Arak M., Holovach I., Ruzhylo Z., Olt J. Mathematical model of cleaning potatoes on surface of spiral separator. – *Agronomy Research*, 2018, Vol.16, No 4. pp. 1590-1606.
12. Митрофанов В.С. Физико-механические свойства картофеля. В кн. “Теория, конструкция и производство сельскохозяйственных машин”. Том 5. Москва-Ленинград: Машгиз, 1940. С. 629-634.
13. Василенко П.М. Введение в земледельческую механику. Киев: Сельхозобразование, 1996. 234 с.
14. Рогатинський Р.М. Механико-технологические основы взаимодействия шнековых рабочих органов с сырьем сельскохозяйственного производства: дис.... д-ра техн. наук / Нац. аграрн. ун-т. Київ, 1997. 480 с.

References

1. Petrov, G.D. (1984). *Kartofeleuborochnye mashiny [Potato harvesting machines]*. Moskow: Mashinostroenie [in Russian].
2. Batyaev, F.I. (1967). Avtomaticheskaya separaciya primej ot klubnej (k mehanizacii uborki kartofelya) [Automatic separation of impurities from tubers (to the mechanization of harvesting potatoes)]. *Kartofel i ovoshi, №6*, 16-17 [in Russian].
3. Batyaev, F.I., Karev, E.B. & Petrov, G.D. (1972). *Sostoyanie i perspektivy razvitiya rabochih organov dlya otdeleniya klubnej kartofelya ot primej pri kombajnovoj uborke [The state and development prospects of the working bodies for separating potato tubers from impurities during combine harvesting]*. Moskow [in Russian].
4. Vereshagin, N.I. & Pshechenkov, K.A. (1965). *Rabochie organy dlya vozdelyvaniya, uborki i sortirovaniya kartofelya [Working bodies for the cultivation, harvesting and sorting of potatoes]*. Moskow: Mashinostroenie [in Russian].
5. Maslennikov, I.N. (1974). *Issledovanie i sravnitel'naya ocenka rotacionnyh separatorov kartofeleuborochnyh mashin [Research and comparative evaluation of rotary separators of potato harvesters]*. Avtoreferat diss. kand. tehn. nauk. Moskow, VISHOM [in Russian].
6. Egoshin, A.V. & Kropotov, E.I. (1991). K voprosu otdeleniya klubnej kartofelya ot primej i gnilej [On the issue of separating potato tubers from impurities and rot]. *Issledovanie mashin i rabochih organov dlya vozdelyvaniya i uborki kartofelya, ovoshnyh i zernovyh kultur: Sb. nauchn. tr. Nizhegorodskogo SHI. N. Novgorod, S. 55-57* [in Russian].
7. Kolchin, N.N., Furletov, V.M. & Arsenev, D.A. (1986). *Sostoyanie i perspektivy razvitiya otdelitelej primej dlya posleuborochnoj obrabotki kartofelya i ovshej [State and development prospects of impurity separators for post-harvest processing of potatoes and vegetables]*. Moskow: VISHOM [in Russian].
8. Karwowski, T. (1982). *Teoria i konstrukcja maszyn rolniczych [Theory and design of agricultural machinery]*. Warszawa: PWRiL, Vol. 3 [in Polish].
9. Bulgakov, V.M., Golovach, I.V., Ruzhilo, Z.V., Paskuci Simone, Santoro Franchesko, Anifantis Aleksandros Sotirios (2019). Ukraine Patent No.120234 *Ochisnik kornebulboplodiv vid domishok [Purification of root tubers from impurities]* [in English].
10. Bulgakov, V., Ivanovs, S., Adamchuk, V. & Ihnatiev, Y. (2017). *Investigation of the influence of the parameters of the experimental spiral potato heap separator on the quality of work. - Agronomy Research, Vol. 15, No 1, 44-54* [in English].
11. Bulgakov, V., Nikolaenko, S., Arak, M., Holovach, I., Ruzhylo, Z. & Olt, J. (2018). *Mathematical model of cleaning potatoes on surface of spiral separator. - Agronomy Research, Vol.16, No 4, 1590-1606*.
12. Mitrofanov, V.S. (1940). *Fiziko-mekanicheskie svojstva kartofelya. V kn. «Teoriya, konstrukciya i proizvodstvo selskohozyajstvennyh mashin» [Physico-mechanical properties of potatoes. In the book «Theory, design and production of agricultural machines»]*. Moscow-Leningrad: Mashgiz, Vol.5, 629-634 [in Russian].
13. Vasilenko, P.M. (1996). *Vvedenie v zemledelcheskuyu mehaniku [Introduction to agricultural mechanics]*. Kiev: Selhozobrazovanie [in Russian].
14. Rogatinskij, R.M. (1997). *Mehaniko-tehnologicheskie osnovy vzaimodejstviya shnekovyh rabochih organov s syrem selskohozyajstvennogo proizvodstva [Mechanical-technological bases of interaction of auger working bodies with raw materials of agricultural production]*. Dissertaciya na soiskanie uchenoj stepeni doktora tehnicheskikh nauk. Kiev: Nacionalnyj agrarnyj universitet [in Russian].

Volodymyr Bulhakov, Prof., DSc., Zinovii Ruzhylo, Assoc. Prof., PhD tech. sci.

National University of Life and Environmental Sciences of Ukraine, Kyiv, Ukraine

Mykhaylo Chernovol, Prof., DSc., Mykola Sviren, Prof., DSc.

Central Ukrainian National Technical University, Kropyvnytskyi, Ukraine

Theoretical Study of the Interaction of a Tuber with the Spiral of Potato Cleaner

Cleaning of potatoes from soil and plant residues is the most important element in their production, as the purity of the tubers, the absence of damage and the high performance of the harvest itself largely determine the efficiency of the entire industry. The creation of new cleaners of potato residues that are less metal-intensive, efficient and high-performing allows solving this problem successfully.

A new design of the spiral-type residue cleaner has been developed. It improves the performance of potato harvesting machines preventing operating elements from sticking with wet soil (by installing spirals with mutual overlapping). The separation intensity is achieved by eccentric installation of spirals.

A mathematical model of the movement of a tuber along the cleaning surface formed by two spirals is developed in order to substantiate the optimal kinematics and design parameters of a new spiral-type potato cleaner. On the basis of computer-calculated analytical expressions, graphical dependences between the parameters of the considered process of movement of a tuber between two adjacent spirals were constructed. That allowed identifying the optimal design and kinematics parameters of the spiral separator. While analyzing the kinematics of movement of a tuber along the surface of the spiral-type cleaner under conditions of contact of the tuber at two points to one spiral and at one point to another, we established that as the angular velocity of the spiral rotation increases, the transporting capacity of the operating element also increases, and the separation capacity is somewhat reduced.

potato, harvesting, cleaning from residues, movement, mathematical model, computer calculations

Одержано (Received) 29.11.2019

Прорецензовано (Reviewed) 04.12.2019

Прийнято до друку (Approved) 23.12.2019

УДК 631.33

DOI: <https://doi.org/10.32515/2414-3820.2019.49.59-66>

К.В. Васильковська, доц., канд. техн. наук

Центральноукраїнський національний технічний університет, м. Кропивницький,
Україна

e-mail: vasilkovskakv@ukr.net

Визначення раціональних параметрів пневмомеханічного висівного апарату з периферійним розташуванням комірок та інерційним видаленням зайвого насіння

В статті запропоновано нову конструкцію пневмомеханічного висівного апарату з периферійним розташуванням комірок на висівному диску та пасивним пристроям, що дозволяє видаляти зайве насіння інерційним способом та забезпечити точний висів насіння просапних культур. Проведена серія досліджень запропонованого висівного апарату для насіння цукрових буряків дозволила визначити вплив розрідження у вакуумній камері висівного апарату та колової швидкості комірок на коефіцієнт заповнення комірок. Запропонована конструкція нового пневмомеханічного висівного апарату дозволяє значним чином знизити вакуум в системі, при цьому збільшується колова швидкість комірок висівного диска до значень поступальної швидкості посівного агрегату, що забезпечує сталу точку скидання насіння з висівного диска та однакові траекторії їх польоту до борозни при якісному заповненні комірок. Для досягнення поставлених задач з визначенням раціональних параметрів та режимів роботи висівного апарату використовувався метод планування багатофакторного експерименту. При цьому були визначені основні рівні та інтервали варіювання факторів для висіву насіння цукрових буряків при визначені коефіцієнта заповнення комірок висівного диска. За допомогою пакету прикладних програм Statistica 6.0. для параметра оптимізації – коефіцієнта заповнення комірок побудовано поверхню відгуку та лінії рівного виходу.

пневмомеханічний висівний апарат, висівний диск, експеримент, коефіцієнт заповнення комірок, розрідження, колова швидкість комірок